

# 軸対称としての浅い基礎の支持力について(第3報)

立命館大学理工学部 正員 勝見 雅

## 1. 緒言

著者は以前に3次元軸対称地表面載荷における、基礎底面が完全に包めらかる場合とあらう場合に関し、特に中間主応力の影響からびに2次元帯状基礎との比軸に注目した研究を行なった<sup>1), 2)</sup> つゝて地表面載荷でるい浅い基礎について、基礎底面、側面とも包めらかであり、 $\beta = 0$  の場合につけてこの結果もすでに報告した<sup>3), 4)</sup> そこで今回は、かかる研究結果をさらに進めて、基礎根入部側面と土との摩擦角 $\delta$ を考慮した計算を行ない、さらに杭基礎と考えられる程度の深い基礎への適用に関して若干考察を試みたので、それらの結果を報告する。

## 2. 基礎方程式

3次元軸対称としてのすべり線に関する基礎方程式の誘導からびに浅い基礎としての計算の方法などに関しては、すでに報告した<sup>1), 3)</sup>ので、ここでではその結果のみ記述する。すなわち、 $S_1, S_2$ すべり線に関してつきの方程式が満足される。

$\sigma_1 > \sigma_2 = \sigma_3$  の場合：

$$\frac{dP}{dS_1} - 2(p\tan\phi + \frac{C}{\cos\phi}) \frac{d\theta}{dS_1} = \gamma' \sin(\theta - \phi) + \frac{1}{r}(p\tan\phi + \frac{C}{\cos\phi}) \{ \sin\theta - \cos(\theta - \phi) \}$$

$$\frac{dP}{dS_2} + 2(p\tan\phi + \frac{C}{\cos\phi}) \frac{d\theta}{dS_2} = \gamma' \cos\theta + \frac{1}{r}(p\tan\phi + \frac{C}{\cos\phi}) \{ \sin\theta - \cos(\theta - \phi) \}$$

$\sigma_1 > \sigma_2 = (\sigma_1 + \sigma_3)/2 > \sigma_3$  の場合：

$$\frac{dP}{dS_1} - 2(p\tan\phi + \frac{C}{\cos\phi}) \frac{d\theta}{dS_1} = \gamma' \sin(\theta - \phi) + \frac{1}{r}(p\tan\phi + \frac{C}{\cos\phi}) \sin\theta$$

$$\frac{dP}{dS_2} + 2(p\tan\phi + \frac{C}{\cos\phi}) \frac{d\theta}{dS_2} = \gamma' \cos\theta - \frac{1}{r}(p\tan\phi + \frac{C}{\cos\phi}) \cos(\theta - \phi)$$

## 3. 数値計算結果とその考察

図-1は中間主応力の影響を見るために、 $\sigma_2 = \sigma_3$ および $\sigma_2 = \sigma_m$ の両者における計算で得られたすべり線の概形と基礎側面および底面での接触圧分布の一例として、 $\phi = 20^\circ$ で基礎の深さが半径の2倍に等しい場合、しかも $\delta = 20^\circ$ に関する結果を画いたものである。同図によると、基礎側面での平均接触圧は中間主応力が大きくなるほど小さくなり、底面での接触圧分布はすでに述べた<sup>1), 2), 4)</sup>と同様に $\sigma_2 = \sigma_3$ では基礎端部から中心に近づくにつれて増加するのに反し、 $\sigma_2 = \sigma_m$ では逆に減少する傾向が認められる。しかし、すべり線の概形については両者の間には、地表面載荷の場合にみられたような明瞭な差は現われていな。この結果に関しては、 $\delta$ を $20^\circ$ まで $5^\circ$ 間隔に計算した同じ深さに対するOB/OAをみると、 $\delta$ が大きくなるほど $\sigma_2 = \sigma_3$ に対する $\sigma_2 = \sigma_m$ の比が1に近づき、しかもその値は $H/B = 1 \sim 20$ に対して $1.0 \sim 1.1$ 程度の範囲にある。

さうに図-2は計算で得られた  $N_c$  の値と基礎の半径に対する深さの比  $H/B$  の関係を画いたものであり、同図には Terzaghi<sup>5)</sup>, Meyerhof<sup>6)</sup>などの2次元帶状基礎の結果に形狀係数をかけて円形基礎として計算した結果をも掲げた。図-2によると、当然のことながら  $\sigma_2 = \sigma_3$ ,  $\sigma_2 = 0_m$  の場合における  $N_c$  は基礎が深くなるにつれて大きくなるが、

その増加率は小さくなり、前者に図-1すべり線の概形と接触圧分布の一例 ( $\phi=20^\circ, \delta=20^\circ, H/B=2$ ) 対して  $N_c = 90 \sim 100$ 、後者では  $N_c \approx 30$  なる値に漸近するようである。さうに  $\sigma_2 = \sigma_3$  の結果は Meyerhof の値に、 $\sigma_2 = 0_m$  は Terzaghi の値に近いようであるが、その差はかなり大きい。

また、 $\delta = 0^\circ \sim 20^\circ$  に関して  $N_c$  は図の斜線を施した範囲の値を与えており、しかも  $\delta$  が大きくなるほど  $N_c$  は小さくなる。このことは杭の支持力  $Q$  をその先  $N_c$  端支持力  $Q_p$  と周面摩擦力  $Q_f$  の和、すなわち  $Q = Q_p + Q_f$  として設計する一般的な方法に対して、 $Q_p$  に含まれる  $N_c$  のみに関していえることは、周面摩擦力が大きくなれば先端支持力は小さくなる。しかしこの程度の差は安全率に含まれるものとも考えられるが、いずれにしても危険側の傾向を示している。以上はいわゆる円形剛基礎の浅い基礎ならびに深い基礎について  $N_c$  のみに注目して述べてきたが、現在  $N_p$  に関する計算も続行中である。なお詳細は講演時に述べろ。

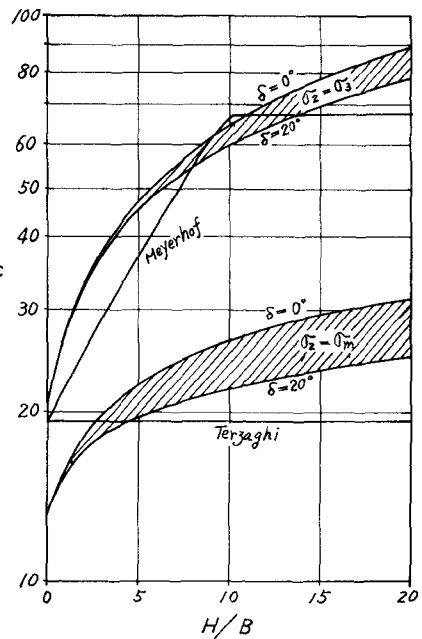
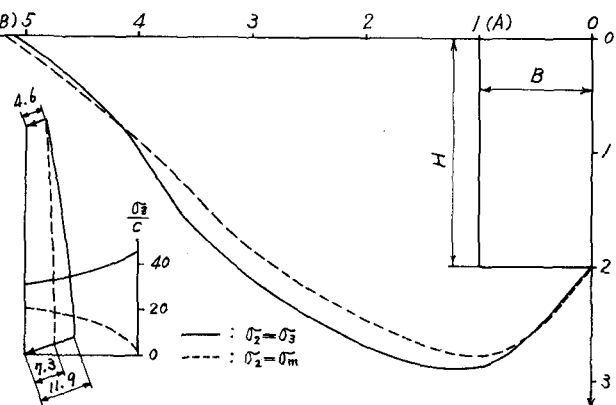


図-2 基礎の深さと  $N_c$  の関係

- 1) 勝見雅：3次元軸対称問題としての支持力理論、第4回土質工学研究発表会講演集、II-25、pp.555~560、昭44.6.
- 2) 勝見雅・神野広己：基礎底面があらい場合における3次元軸対称としての支持力に関する研究、土学会全国大会年次学術講演会講演要集、III-23、pp.71~74、昭44.7.
- 3) 勝見雅・神野広己：軸対称としての浅い基礎の支持力について、土木学会関西支部年次学術講演会講演要集、III-13、pp.III-13-1~2、昭45.5.
- 4) 勝見雅・神野広己：軸対称としての浅い基礎の支持力について(第2報)、土木学会全国大会年次学術講演会講演要集、III-146、pp.419~420、昭45.11.
- 5) Terzaghi, K. : Theoretical Soil Mechanics, McGraw-Hill, pp.119~134, 1943.
- 6) Meyerhof, G.G. : The Ultimate Bearing Capacity of Foundation, Géotechnique, II, pp.301~332, 1950 and 1951.